

Резонансное двухфотонное поглощение в CdP₂ тетрагональной модификации

© И.И. Пацкун, И.И. Тычина, И.А. Колесник

Украинский государственный педагогический университет,
252030 Киев, Украина

(Поступила в Редакцию 29 февраля 1998 г.)

Проведены кинетические, спектральные, интенсивностные, угловые и поляризационные исследования резонансного двухфотонного поглощения (РДФП) в β-CdP₂. Обнаружено РДФП при суммарной энергии двух квантов 2.60 eV. Показано, что РДФП осуществляется через реальный промежуточный уровень d₃, расположенный в запрещенной зоне на глубине E_c - 0.86 eV. Определены время поперечной релаксации электронов при РДФП, сечение поглощения квантов лазерного излучения на переходах d₃ → C, равновесная заселенность d₃-центров легированного образца n-типа и константа РДФП, которые составляют 4.3 · 10⁻¹⁴ s, 1.25 · 10⁻¹⁷ cm², 0.95 и 0.028 cm/MW соответственно.

Резонансное двухфотонное поглощение (РДФП) — одно из наиболее интересных и наименее изученных оптических явлений в полупроводниках, в том числе и в малоисследованном, но перспективном в нелинейной оптике β-CdP₂. Поэтому целью настоящей работы является изучение РДФП с помощью высокоинформативных современных методов амплитудной лазерно-модуляционной спектроскопии [1].

В используемой нами разновидности спектроскопии информация извлекается из изменений интенсивности пробной (зондирующей) волны с частотой ω₂ при возбуждении среды волной накачки с частотой ω₁. В качестве волны накачки использовалось излучение неодимового лазера с модулированной добротностью с полушириной гигантского импульса τ₁ = 15 ns, а в качестве пробной волны — мощная импульсная ксеноновая лампа с длительностью высвечивания τ₂ = 150 μs. Возбуждение среды волной накачки приводит к изменению интенсивности пробной волны ΔI(ω₂). Этому изменению соответствует изменение коэффициента поглощения пробной волны [1]

$$\Delta K(\omega_2) = \frac{1}{d} \ln \left[1 / (1 - \Delta I(\omega_2) / I^{(0)}(\omega_2)) \right], \quad (1)$$

где ΔI(ω₂) = I⁽⁰⁾(ω₂) - I^(t)(ω₂), I⁽⁰⁾(ω₂) и I^(t)(ω₂) — интенсивности прошедшей образец пробной волны до (t = 0) и после начала высвечивания лазера (t > 0), d — толщина образца.

Измерения проводились при комнатной температуре на нелегированных и легированных Вi образцах. Монокристаллы β-CdP₂ получены из паровой фазы в двухзонной печи. Легирование проводилось в процессе роста путем добавления легирующей примеси в исходные компоненты, которые брались в стехиометрическом соотношении. Тип проводимости образцов определялся по знаку холловской ЭДС. Образцы, легированные 1 wt.% Вi, были n-типа, а нелегированные — p-типа проводимости. Образцы изготавливались в виде кубиков размером 4 × 4 × 4 mm с ориентацией их граней вдоль направления основных векторов элементарной ячейки

кристалла. Лазерный луч с волновым вектором q₁ и зондирующий луч с волновым вектором q₂ распространялись в кристалле в одном направлении.

ΔK(ω₂) состоит из некогерентной и когерентной частей. Некогерентная часть обусловлена амплитудной модуляцией примесного однофотонного поглощения пробной волны ΔK⁽¹⁾(ω₂), а когерентная часть равна коэффициенту двухфотонного поглощения K⁽²⁾(ω₂): ΔK(ω₂) = K(ω₂) - K₀(ω₂) = (K⁽¹⁾(ω₂) + K⁽²⁾(ω₂)) - (K₀⁽¹⁾(ω₂) + K₀⁽²⁾(ω₂)) = ΔK⁽¹⁾(ω₂) + K⁽²⁾(ω₂), так как до воздействия лазерного излучения (t = 0) ДФП отсутствует (K₀⁽²⁾(ω₂) = 0). K⁽²⁾(ω₂) может состоять из коэффициентов собственного двухфотонного поглощения (СДФП) и РДФП. В теории СДФП в качестве промежуточных состояний рассматриваются виртуальные, а в теории РДФП — реальные состояния, через которые также могут происходить однофотонные двухступенчатые переходы. Следовательно, определение вклада в ΔK(ω₂) РДФП является еще более трудной задачей, чем определение вклада СДФП [2]. Однако проведенные в работе [1] исследования с использованием кинетических, спектральных, интенсивностных, угловых и поляризационных зависимостей ΔK(ω₂) дали возможность обнаружить в ZnP₂ РДФП. Поэтому в настоящей работе нами был проведен комплекс таких же исследований для CdP₂. В результате была обнаружена спектральная полоса РДФП с максимумом при энергии квантов пробной волны ħω₂ = 1.43 eV.

На рис. 1, a изображена кинетика ΔI(ω₂)/I⁽⁰⁾(ω₂) при энергии квантов пробной волны ħω₂ = 1.52 eV в нелегированном (1) и легированном Вi (2) образцах. Спектры ΔK(ω₂), соответствующие значениям максимумов кинетики 1 и минимумов кинетики 2, которые достигались через 10–15 ns после начала высвечивания лазера, приведены на рис. 1, b. Каждая точка получена путем усреднения многих десятков измерений. Спектры I, I' сняты на нелегированных, а 2, 2' — на легированных Вi образцах при углах между единичными векторами e₁ и e₂ равных 0 (1, 2) и 90° (I', 2'). Направления e₁

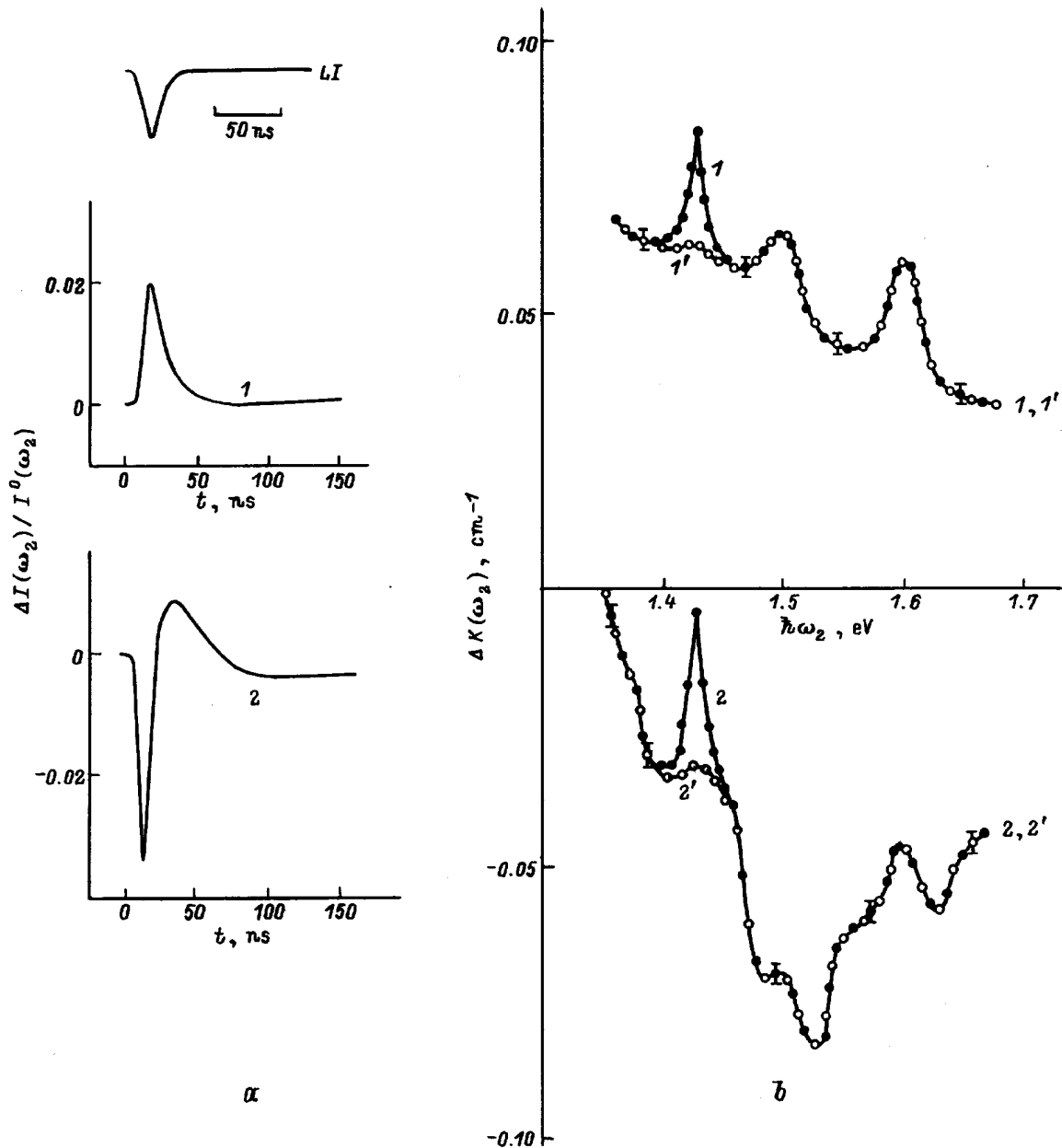


Рис. 1. *a*) Кинетика $\Delta I(\omega_2)/I^0(\omega_2)$ при $\hbar\omega_2 = 1.52$ eV в нелегированном (1) и легированном Bi (2) образцах β -CdP₂. Сверху изображен контур импульса лазера (LI). *b*) Спектры $\Delta K(\omega_2)$, соответствующие максимуму кинетики для нелегированных образцов (1, 1') и минимуму кинетики для легированных Bi образцов (2, 2') при $e_1;e_2 = 0^\circ$ (1, 2) и $e_1;e_2 = 90^\circ$ (1', 2'). $q_1 \parallel q_2 \parallel c$. $I(\omega_1) = 4 \text{ MW} \cdot \text{cm}^{-2}$.

и e_2 соответствуют направлениям электрических векторов плоскополяризованных лазерного и зондирующего излучений. $I(\omega_1)$ в максимуме лазерного импульса равна $4 \text{ MW} \cdot \text{cm}^{-2}$.

Во втором приближении теории возмущений для зона-зонных двухфотонных переходов [1]

$$K^{(2)}(\omega_2) \sim \sum_{CV} \int_{B.z.} |M_{CV}^{(2)}|^2 \times \delta(E_c(\mathbf{k}) - E_v(\mathbf{k}) - \hbar\omega_1 - \hbar\omega_2) d\tau_k. \quad (2)$$

Здесь

$$M_{CV}^{(2)}(\mathbf{k}, e_1, e_2) = \sum_l \left[\frac{(e_2 d_{cl})(e_1 d_{lv})}{E_l(\mathbf{k}) - E_v(\mathbf{k}) - \hbar\omega_1} + \frac{(e_1 d_{cl})(e_2 d_{lv})}{E_l(\mathbf{k}) - E_v(\mathbf{k}) - \hbar\omega_2} \right] \quad (3)$$

— составной матричный элемент ДФП,

$$d_{lv} = \langle l, \mathbf{k} | \hat{d} | v \mathbf{k} \rangle, \quad d_{cl} = \langle c, \mathbf{k} | \hat{d} | l, \mathbf{k} \rangle,$$

\hat{d} — оператор дипольного момента электрона, а индексы v, l, c обозначают начальные в валентной зоне, промежуточные и конечные в зоне проводимости.

жучочные и конечные в зоне проводимости состояния электрона. Дельта-функция $\delta(E_c(\mathbf{k}) - E_v(\mathbf{k}) - \hbar\omega_1 - \hbar\omega_2)$ выражает закон сохранения энергии, который должен выполняться для процесса ДФП в целом, хотя для каждой из ступеней ДФП в отдельности он не выполняется. Из (2), (3) видно, что по мере приближения $\hbar\omega_1$ или $\hbar\omega_2$ к $E_l(\mathbf{k}) - E_v(\mathbf{k})$ следует ожидать резонансного увеличения $K^{(2)}(\omega_2)$. Однако, как только переход из состояния $|v\rangle$ в $|l\rangle$ становится реальным, происходит также однофотонное поглощение электромагнитного поля.

Из сказанного выше следует вопрос: как практически провести разделение $\Delta K(\omega_2)$ на СДФП, РДФП и $\Delta K^{(1)}(\omega_2)$? Для этого можно использовать релаксационные, спектральные, интенсивностные, угловые и поляризационные зависимости этих типов поглощения. Кинетика ДФП относительно высвечивания лазера безынерционна, тогда как $\Delta K^{(1)}(\omega_2)$ может иметь заметное отставание нарастания и очень сильное отставание спада от импульса лазера. В настоящее время установлено, что индуцированное однофотонное поглощение и просветление $\Delta K^{(1)}(\omega_2)$ в реальных кристаллах, как правило, обусловлены наличием локальных уровней энергии в запрещенной зоне [3,4]. В этом случае $\Delta K^{(1)}(\omega_2)$ пропорционально изменению заселенности уровней, которое происходит под воздействием лазерного света. При увеличении интенсивности лазерного излучения $I(\omega_1)$ заселенность локальных уровней насыщается. Зависимость коэффициента СДФП $K_1^{(2)}(\omega_2)$ от $I(\omega_1)$ линейна: $K_1^{(2)}(\omega_2) = \beta_1 I(\omega_1)$, где β_1 — константа СДФП. Поэтому в случае $\Delta K(\omega_2) = K_1^{(2)}(\omega_2) + \Delta K^{(1)}(\omega_2)$ $K_1^{(2)}(\omega_2)$ и $\Delta K^{(1)}(\omega_2)$ можно разделить прямой, параллельной высокоинтенсивностному участку экспериментальной зависимости $\Delta K(\omega_2) = f(I(\omega_1))$ и проходящей через начало координат [1,3,4]. Как показано в [1,3–9], при распространении света вдоль оптической оси кристалла $\Delta K^{(1)}(\omega_2)$ не зависит от типа поляризации пучков и угла $\mathbf{e}_1, \mathbf{e}_2$, а $K_1^{(2)}(\omega_2)$ существенно зависит от того, являются ли пучки линейно или циркулярно поляризованными [4,6–8].

В β -CdP₂ коэффициент линейно-циркулярного дихроизма (ЛЦД) $\alpha = K_{1,\text{lin}}^{(2)}(\omega_2)/K_{1,\text{circ}}^{(2)}(\omega_2)$ при циркулярной поляризации пучков для дипольно разрешенно-запрещенного СДФП с увеличением $\hbar\omega_1 + \hbar\omega_2$ в интервале 2.52–3.13 eV монотонно возрастает от 1.14 до 1.21 [4]. В этом спектральном интервале также монотонно возрастает и $K_1^{(2)}(\omega_2)$. Коэффициенты РДФП $K_2^{(2)}(\omega_2)$ через примесные уровни l отличаются от $K_1^{(2)}(\omega_2)$ спектральными, интенсивностными, угловыми и поляризационными зависимостями [1]. Для дипольно разрешенно-разрешенных двухфотонных переходов в случае $\sigma'_{lc} = 0$, $\sigma'_{vl} \neq 0$, где σ' — сечения поглощения лазерного излучения,

$$K_{2,lc}^{(2)}(\omega_2) = \beta_{2,lc}^m I(\omega_1) (1 - \rho_l^{(0)}) \times \exp\left[-\frac{\sigma'_{vl}}{\hbar\omega_1} \int_0^t I(\omega_1) dt\right]. \quad (4)$$

Здесь $\rho_l^{(0)}$ — заселенность примесного уровня l при динамическом равновесии до воздействия лазерного излучения, $\beta_{2,lc}^m$ — постоянная РДФП, соответствующая максимальному числу участвующих в поглощении промежуточных уровней N_l ,

$$\beta_{2,lc}^m \sim \frac{\Gamma_{cv} N_l}{(\omega_1 + \omega_2 - \omega_{cv})^2 + \Gamma_{cv}^2}, \quad (5)$$

Γ_{cv} — постоянная затухания. Если $\sigma'_{lc} \neq 0$ и $\sigma'_{vl} = 0$, то

$$K_{2,vl}^{(2)}(\omega_2) = \beta_{2,vl}^m I(\omega_1) \left\{ 1 - \rho_l^{(0)} \times \exp\left[-\frac{\sigma'_{lc}}{\hbar\omega_1} \int_0^t I(\omega_1) dt\right] \right\}, \quad (6)$$

где для $\beta_{2,vl}^m$ выполняется также пропорциональность (5). Из (5) видно, что спектр разрешенно-разрешенного РДФП представляет собой узкую лоренцеву кривую.

Для одноосных кристаллов с точечной группой C_{4v} , каким является β -CdP₂, при распространении излучений вдоль \mathbf{c} $K_2^{(2)}(\omega_2)$ зависит от угла между векторами \mathbf{e}_1 и \mathbf{e}_2 линейных поляризаций пучков, а также от типа поляризации этих пучков. В случае линейных поляризаций коэффициент разрешенно-разрешенного ДФП [1]

$$K^{(2)}(\omega_2) = K_{0,\text{lin}}^{(2)}(\omega_2) \cos(\mathbf{e}_1, \mathbf{e}_2); \quad (7)$$

для круговых поляризаций противоположно направленных спиральностей

$$K^{(2)}(\omega_2) = K_{0,\text{circ}}^{(2)}(\omega_2) \quad (8)$$

и для круговых поляризаций одинаково направленных спиральностей

$$K^{(2)}(\omega_2) = 0. \quad (9)$$

СДФП в β -CdP₂ является разрешенно-запрещенным [4,9], и для него не являются характерными приведенные угловые и поляризационные зависимости. Поскольку глубокие локальные состояния электронов в запрещенной зоне не обладают определенной четностью, РДФП через эти состояния является разрешенно-разрешенным.

Проведенные нами экспериментальные исследования β -CdP₂ показали, что только полоса спектров $\Delta K(\omega_2)$ с максимумом при $\hbar\omega_2 = 1.43$ eV обладает всеми описанными выше свойствами РДФП. Причем контур этой полосы и ее интенсивностная зависимость хорошо описываются формулой (6). В полосе 1.43 eV на осциллограммах заметно преобладание быстрой составляющей кинетики поглощения относительно осциллограмм в прилегающих точках спектра нелегированных кристаллов. При линейных поляризациях пучков эта полоса согласуется с (7), достигает максимума, когда $\mathbf{e}_1 \parallel \mathbf{e}_2$, и исчезает при $\mathbf{e}_1 \perp \mathbf{e}_2$. В случае циркулярных поляризаций пучков (выполняются (8), (9))

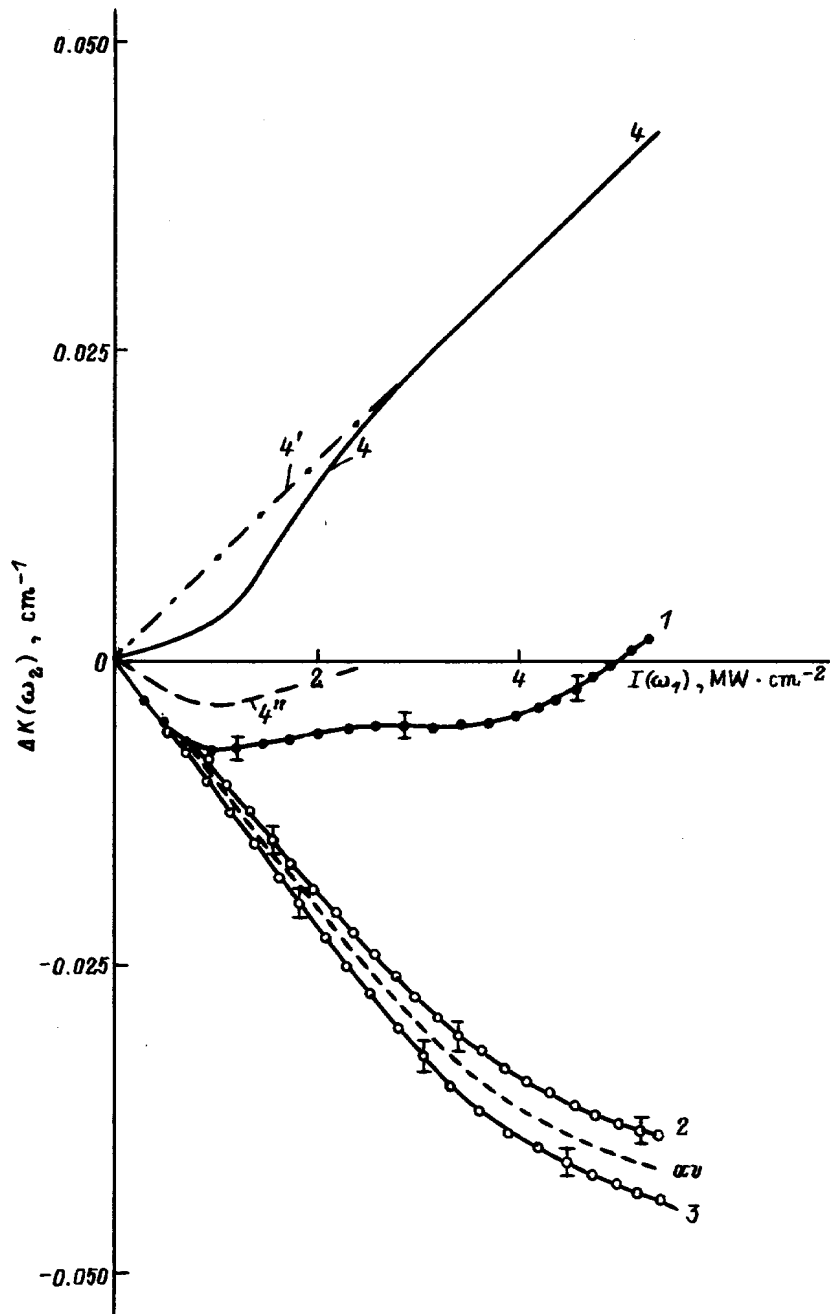


Рис. 2. Интенсивностные зависимости $\Delta K(\omega_2)$ для легированного Vi образца в точках $\hbar\omega_2 = 1.43$ (1), 1.40 (2) и 1.46 eV (3). *av* — усредненный график зависимостей 2 и 3; 4 — результат вычитания из зависимости 1 усредненного графика *av*; 4' — асимптота зависимости 4; 4'' — результат вычитания из зависимости 4 асимптоты 4'.

она хорошо проявляется при противоположно направленных спиральностях и практически отсутствует при одинаково направленных спиральностях. Для пучков с $\mathbf{e}_1 \parallel \mathbf{e}_2$ и с противоположно направленными спиральностями имеет место также преобладание величины коэффициента ЛЦД α в полосе над его значениями в ее окрестностях. Полуширина резонансной полосы $\hbar\Gamma_{cv} = 0.29$ eV. Отсюда время поперечной релаксации электронов при РДФП $T_2 = 1/\Gamma_{cv}$ равно $4.3 \cdot 10^{-14}$ s.

На рис. 2 приведены полученные для легированного Vi образца в точках $\hbar\omega_2 = 1.43$ (1), 1.40 (2) и 1.46 eV (3) интенсивностные зависимости. В точках $\hbar\omega_2 = 1.40$ и 1.46 eV $\Delta K(\omega_2)$ содержит только $\Delta K^{(1)}(\omega_2)$ и $K_1^{(2)}(\omega_2)$. $\Delta K^{(1)}(\omega_2)$ обусловлено уменьшением примесного поглощения пробной волны в образце, связанным с перераспределением под воздействием волны накачки населенностей примесных уровней в запрещенной зоне, а $K_1^{(2)}(\omega_2)$ обусловлено СДФП [1]. В максимуме полосы 1.43 eV кроме составляющих $\Delta K^{(1)}(\omega_2)$

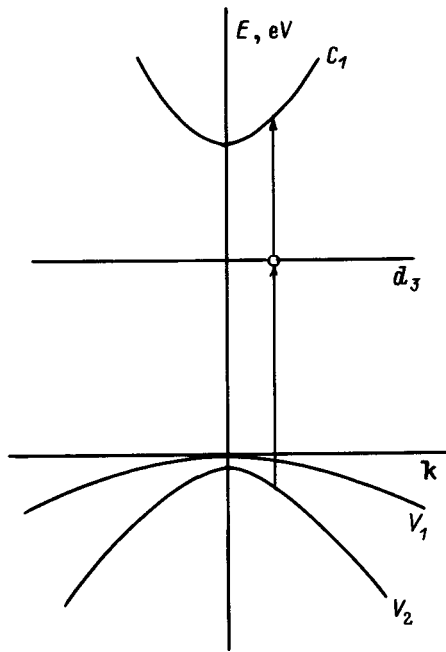


Рис. 3. Схема резонансных двухфотонных переходов в β -CdP₂.

и $K_1^{(2)}(\omega_2)$ содержится и принадлежащая РДФП составляющая $\Delta K_2^{(2)}(\omega_2)$. С учетом того, что графиком $\Delta K^{(1)}(\omega_2) + K_1^{(2)}(\omega_2)$ в точке $\hbar\omega_2 = 1.43$ eV является усредненный график av зависимостей 2 и 3, графиком $\Delta K_2^{(2)}(\omega_2)$ в этой точке будет зависимость, полученная путем нахождения разности зависимостей I и av . Таким образом, полученный график РДФП в точке $\hbar\omega_2 = 1.43$ eV изображен на рис. 2, b кривой 4. Он находится в соответствии с уравнением (6). При увеличении интенсивности $I(\omega_1)$ $\Delta K_{2,vl}^{(2)}(\omega_2)$ в (6) асимптотически стремится к прямолинейной интенсивностной зависимости

$$K_{2,vl}^{(2)}(\omega_2) = \beta_{2,vl}^m I(\omega_1); \quad (10)$$

эта функция изображена прямой 4'. Запишем формулу (6) в виде

$$K_{2,vl}^{(2)}(\omega_2) = K_{2,vl}^{(2),ac}(\omega_2) - \Delta K_{2,vl}^{(2)}(\omega_2), \quad (11)$$

где

$$\Delta K_{2,vl}^{(2)}(\omega_2) = \beta_{2,vl}^m I(\omega_1) \rho_l^{(0)} \times \exp(-0.8 \cdot 10^{17} \sigma'_{lc} I(\omega_1)). \quad (12)$$

Здесь $I(\omega_1)$ берется в $\text{MW} \cdot \text{cm}^{-2}$, а σ'_{lc} — в cm^2 . В (12) учтено, что $\hbar\omega_1 = 1.17$ eV, а ширина приблизительно треугольного лазерного импульса на полувысоте составляет 15 ns. Интенсивностная зависимость $\Delta K_{2,vl}^{(2)}(\omega_2)$ на рис. 2 изображена кривой 4''. Из условия минимума $\Delta K_{2,vl}^{(2)}(\omega_2)$: $\partial(\Delta K_{2,vl}^{(2)}(\omega_2))/\partial I(\omega_1 = 0)$ — находим

$$\sigma'_{lc} = 1.25 \cdot 10^{-17} / I^{(\min)}(\omega_1). \quad (13)$$

$I^{(\min)}(\omega_1)$ соответствует минимуму $\Delta K_{2,vl}^{(2)}(\omega_2)$. Минимуму кривой 4'' соответствует $I^{(\min)}(\omega_1) \approx 1 \text{ MW} \cdot \text{cm}^{-2}$. Поэтому $\sigma'_{lc} = 1.25 \cdot 10^{-17} \text{ cm}^2$. Подставив в (12) выражения из (10) и (13) при условии $I(\omega_1) = I^{(\min)}(\omega_1)$, получим

$$\rho_l^{(0)} = 2.72 \Delta K_{2,vl}^{(2),\min}(\omega_2) / K_{2,vl}^{(2),ac}(\omega_2). \quad (14)$$

Согласно графикам 4' и 4'', при $I^{(\min)}(\omega_1) \approx 1 \text{ MW} \cdot \text{cm}^{-2}$ $\Delta K_{2,vl}^{(2),\min}(\omega_2) / K_{2,vl}^{(2),ac}(\omega_2) \approx 0.35$. Поэтому $\rho_l^{(0)} \approx 0.95$. Согласно (10), из наклона прямой 4' получаем $\beta_{2,vl}^m \approx 0.028 \text{ cm} / \text{MW}$.

Выполнение для исследуемой полосы условия $\sigma'_{vl} = 0$, $\sigma'_{lc} \neq 0$ соответствует залеганию примесного уровня на глубине не более 1.17 eV от зоны проводимости и не более 1.43 eV от валентной зоны. В этой области запрещенной зоны находится известный уровень d_3 с глубиной залегания $E_c - 0.86$ eV [9]. Схема резонансных двухфотонных переходов через этот уровень изображена на рис. 3.

В заключение отметим, что полученное значение $\beta_{2,vl}^m$ для образца, легированного Bi , в 3.5 раза больше, чем для нелегированного образца. Отсюда следует, что при легировании CdP_2 висмутом увеличивается концентрация d_3 -уровней.

Список литературы

- [1] И.И. Пацкун. В сб.: Квантовая электроника. Наук. думка, Киев (1993). Т. 45. С. 3–30.
- [2] Р. Балтрамеюнас, Р. Баубинас, Ю. Вайткус, В. Гаврюшин, Г. Рачюкайтис. ФТТ 27, 2, 371 (1985).
- [3] Г.А. Грищенко, Н.С. Корец, И.И. Пацкун, И.И. Тычина. Опт. и спектр. 69, 1, 115 (1990).
- [4] П.Е. Мозоль, И.И. Пацкун, Е.А. Сальков, Н.С. Корец, И.В. Фекешгази. ФТП 14, 5, 902 (1980).
- [5] М.Д. Галанин, З.А. Чижилова. Письма в ЖЭТФ 8, 576 (1968).
- [6] Е.Б. Берегулин, Д.П. Дворников, Е.Л. Ивченко, И.Д. Ярошецкий. ФТП 9, 5, 876 (1975).
- [7] С.Б. Арифжанов, Е.Л. Ивченко. ФТТ 17, 1, 81 (1975).
- [8] Д.П. Дворников, Е.Л. Ивченко, И.Д. Ярошецкий. ФТП 12, 8, 1511 (1978).
- [9] И.С. Горбань, В.П. Грищук, Н.С. Корец, А.В. Слободянюк, И.И. Тычина. ФТП 15, 2, 424 (1981).